

上海地区 SO_2 的观测研究

邹有所 洪钟祥 周乐义 沈剑青*

(中国科学院大气物理研究所)

提 要

1986年6月中旬到7月中旬，采用飞机与地面定点测量，对上海地区 SO_2 空间及地面的分布、变化进行了观测研究，得出了如下结果：1. 在降水较频繁的观测期间，上海近郊地面（龙华机场） SO_2 的平均日变化呈一峰一谷分布，峰值在08时，约34 ppb，谷值在02时，约10 ppb，全天平均为18 ppb。但在连续的晴天状况下， SO_2 日变化呈二峰二谷分布。2. SO_2 空间分布有两大特征。一是不稳定大气层结（晴天）下的向上递减型，1500 m 以下，城市比郊区大10 ppb 左右，1500 m 以上，市区、郊区的浓度趋于一致，相差只1—2 ppb。二是层状云中 SO_2 浓度垂直分布先向上递增，约在1500 m 高度上达极值，然后又向上递减。3. 资料分析发现，云中 SO_2 浓度越高的地方，云水的酸度也越大。4. 冷锋、准静止锋天气过程，每次都伴随 SO_2 日均浓度分布曲线上一个峰值。

关键词：降水冲洗； SO_2 ；上海。

一、引言

1986年6月中旬到7月中旬，大气物理研究所与上海市环境保护研究所、上海气象科研所合作，进行了一次大规模的酸雨地面与空间观测研究。本文通过对测量数据和测量过程的分析，企图搞清上海地区 SO_2 的空间垂直分布及地面浓度随时间的变化规律，并结合气象条件进行综合研究，探讨上海地区 SO_2 分布与酸雨的来源和机制问题。

二、测量概况

测量分飞机空间飞行观测和地面定点观测两种方式进行。地面及空间均采用美国 MONITOR LABS 公司的 8850 型 SO_2 荧光分析仪进行测量。仪器量程为 0—10 ppm，最小分辨率为 1 ppb。

地面测量点设在龙华机场候机室楼上，时间从6月21日至7月13日共23天，仪器日夜连续采样，经荧光反应输出的 SO_2 浓度信号再经单板机处理后打印记录。记录分5秒和5分钟平均值两种选择，我们选5秒钟平均值打印记录。测点周围的环境是：东南面的水泥厂高烟囱排放对测量的可能影响最大，西面有火葬厂的烟囱排放，北面是市区，此外停机坪上飞机发动时产生的 SO_2 对测点也有直接影响。

1988年6月10日收到，1989年5月30日收到修改稿。

* 大气物理研究所周义祥、罗卫东等同志担负了现场观测工作。

空间测量是租用一架双水獭飞机在高空飞行观测，测量时将 8850 型 SO_2 分析仪置于机舱内、采样进气口放在飞机腹部的减压舱中。 SO_2 数据连续打印，5 秒钟打印一个值，每小时可获 720 个空间数据。试验期间共飞行十七架次，每次飞行约 2 小时，飞行速度平均为 174 km/h，飞机高度为 500 m—5000 m，选择几个特定高度作持续水平飞行测量。 SO_2 的测量高度最低为 500 m，其余为 1000、1500、2000、2500、3000、3500 m 等。飞行具体线路：一是环绕市区和贯穿市区上空的测试路线，二是嘉定—市区—南汇、松江—市区—崇明、青浦—松江—奉贤和金山—南汇路线。

三、资料分析及结果

根据文献 [1]、[2] 的实验研究，水汽含量及气压变化均对 SO_2 的测量浓度值有较大影响，因此无论地面或是空间的 SO_2 测量都必须考虑大气相对湿度的影响，对于空间测量，我们还要考虑气压随高度的变化及其对测量值的影响。为了排除水汽对测量的影响，一般在仪器的进气口装配排水（如汽水分离器）部件，但 8850 型荧光 SO_2 分析仪内部已装有驱水汽部件，不需另加除水装置就能保证 SO_2 的正常测量，所以在资料处理时没有考虑水汽的订正。飞机在不同高度上的气压变化，在资料处理时已按文献 [2] 中的实验订正曲线采用内插法对 SO_2 测量值进行了订正，然后再进行统计处理。下面将资料分析的一些结果简要叙述如下。

1. 地面 SO_2 浓度随时间的变化特征

上海近郊（龙华机场）地面 SO_2 浓度随时间的变化如图 1 所示。图 1(a) 是对 6 月 23 日至 7 月 13 日中 17 天的有效数据平均得到的。

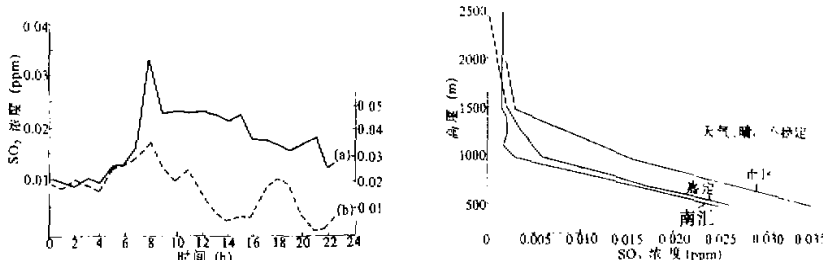


图 1 上海近郊（龙华机场）地面 SO_2 浓度日变化

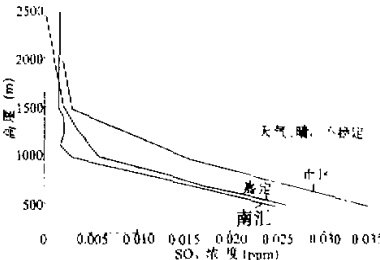


图 2 上海市区与郊区 SO_2 浓度随高度变化
(1986 年 7 月 12 日 14:00—17:00)

从图上看， SO_2 浓度在夜间 02 时左右达全天最低值，约 10 ppb，06 时上升较快，到 08 时达全天峰值 34 ppb，一直到下午 15 时， SO_2 浓度值的变化都较缓慢，呈一条近水平的直线，维持稳定在 23 ppb 上下。15 时后开始下降，至 19 时已达 16 ppb，然后略有上升，21 时为 19 ppb，22 时又降至 13 ppb。在平均曲线上， SO_2 日变化的两峰两谷趋势不明显，因为这期间天气系统（冷锋、准静止锋）较多，阴雨也较多。但白天与夜间的 SO_2 浓度差别明显，白天平均为 21 ppb，夜间为 12 ppb，日均浓度 18 ppb，总趋势为一峰一谷，但持续的晴天条件下， SO_2 日变化有很好的二峰二谷趋势，如图

1(b)所示, SO_2 浓度的最大值出现在上午 08 时, 约 37 ppb, 次大值在下午 18 时, 为 21 ppb 左右。两个谷值, 一个在 04 时, 16 ppb, 另一个在 14 时, 约 7 ppb。

2. SO_2 空间分布的特征

气象条件对 SO_2 的空间分布影响十分显著。在晴天大气层结不稳定的情况下, SO_2 空间浓度随高度的分布如图 2 所示。这时, 无论是市区还是郊区的上空, SO_2 浓度都是向上递减的, 在 500 m 的高度上市区比郊区浓度约大 10 ppb, 这个差值一直保持到 1500 m 高度, 再向上, 市区和郊区上空的 SO_2 浓度趋于一致, 相差约 1—2 ppb。

图 3 显示了上海 SO_2 空间分布的另一特征。当存在深厚的云时, 特别是降水层状云的存在, SO_2 浓度廓线就常常出现一个极大值, 其高度常在 1500 m 上下, 如图 3(a) 所示, 但极大值的高度并不全是 1500 m, 例如图 3(b) 就是一个例子, 它的 SO_2 极大值出现在 1100 m 上下。 SO_2 空间浓度的极大值能否出现, 以及出现的高度应同云的高度、厚度及含水量的分布有关。

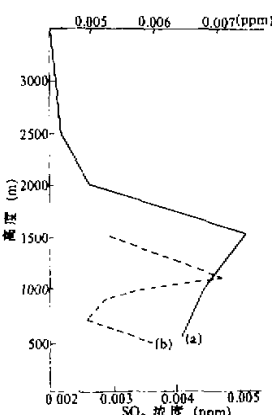


图 3 层状云存在时, 上海 SO_2 的空间垂直分布

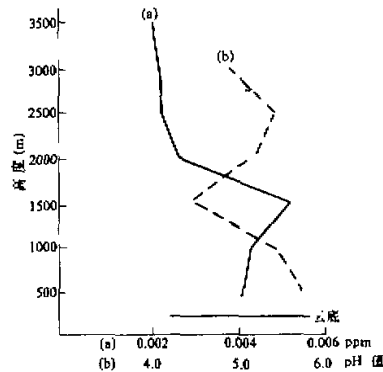


图 4 SO_2 浓度与云水酸度随高度变化的对比(1986 年 7 月 8 日 09:45—11:52 同机同时测量值)

3. SO_2 空间浓度分布与云水酸化的关系

图 4 是 1986 年 7 月 8 日同一飞机上同时测出的 SO_2 空间浓度和云水 pH 值随高度分布的结果。比较图 4(a) 和 (b), 我们不难看出: SO_2 浓度从 500 m 高度上开始向上逐渐增加, 至 1500 m 高度达极大值, 然后浓度就随高度向上递减; 在完全对应的高度上, 云水 pH 值变化趋势却和 SO_2 的变化相反, 即云水 pH 值越小的地方 SO_2 浓度越高。云水的 pH 值从 500 m 高度向上减小, 到 1500 m 高度达极小值(最酸), 再向上, pH 值就逐渐加大, 这种好的对应关系一直保持到 2500 m 的高度。

4. 降水冲洗对 SO_2 时空分布的影响

表 1 1986 年 6 月 20 日—25 日上海地面降水量及 SO_2 空间浓度比较

日期(6月)	20 日	21 日	22 日	23 日	24 日	25 日
当日降水量(mm)	62.3	13.5	25.2	3.5	13.8	0
累积降水量(mm)	62.3	75.8	101.0	104.5	118.3	118.3
SO_2 空间浓度(ppm) (上午 10:00—11:00)		0.01—0.014	0.005—0.008			<0.005

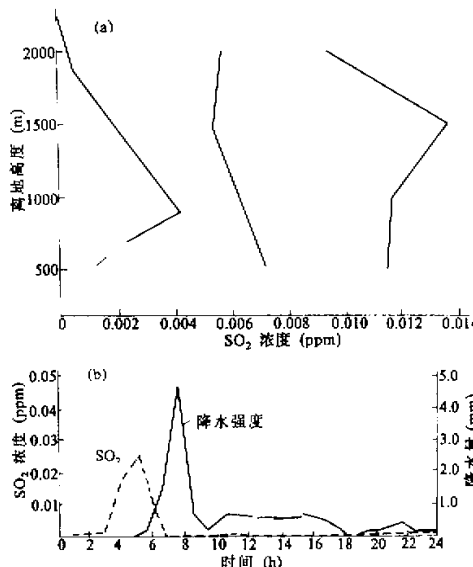
图 5 降水对 SO_2 的冲洗(a) 6月21日、22日、25日市区上空 SO_2 的空间浓度 (b) 降水对地面 SO_2 的冲洗 (1986年7月4日)

表1给出了 SO_2 浓度与降水强度关系的一些测量结果。表中给出了1986年6月20日至25日上海地面(龙华机场气象站资料)逐日降水量及累积降水量，并且将6月21日、22日及25日三天的10:00—11:00市区上空 SO_2 浓度值范围也列在表1中，供比较分析。这三天的 SO_2 空间垂直浓度的分布如图5(a)所示。将图5(a)与表1中的降水资料比较一下，我们可以看出：6月21日上午，从500 m 到2500 m 的上空， SO_2 的空间浓度在10—14 ppb之间，到6月22日上午同样的时间同样的高度范围内 SO_2 空间浓度只有5—8 ppb。这期间地面降水30多毫米，冲洗是明显的。再到6月25日上午同样时间同样高度范围内， SO_2 空间浓度只有5 ppb以下，这期间又降水20多毫米，进一步清洗了地面及空间的 SO_2 。当然，空间 SO_2 的减少，不仅与降水冲洗，还和扩散及平流输送等因子有关，我们也不能将图5(a)中 SO_2 空间浓度的变化完全归因于降水冲洗，但可以明显看出降水的冲洗作用。降水对地面 SO_2 的冲洗作用见图5(b)。实线代表降水强度随时间的变化，虚线代表地面 SO_2 浓度的变化。在图5(b)中，地面降水从05时开始，地面 SO_2 为25 ppb左右，到07时，降水强度增加到4.8 mm/h，这时地面的 SO_2 浓度为0(小于仪器探测能力)，全部被冲洗了。随后降水强度减弱，但 SO_2 一直维持在0 ppb上下。这是由于测点近处无排放源，远处排放的 SO_2 还来不及扩散输送到测点就被雨水清洗了。由图5(b)的数据，我们计算一下降水冲洗率。按降水冲洗率 Λ 的定义：

$$\frac{\partial n}{\partial t} = -\Lambda n,$$

积分后：

$$\Lambda = \frac{1}{\Delta t} \ln \left[\frac{n(t=T_0)}{n(t=T)} \right].$$

式中 n 为 SO_2 浓度, Δt 为时间间隔, 取

$$t=5 \text{ 时}, \quad n(T_0) = 25 \text{ ppb},$$

$$t=7 \text{ 时}, \quad n(T) = 0 \text{ ppb}.$$

算得当时的平均冲洗率为:

$$\Lambda = 4.47 \times 10^{-4} / \text{s}.$$

5. 冷锋、准静止锋天气系统对 SO_2 浓度的影响

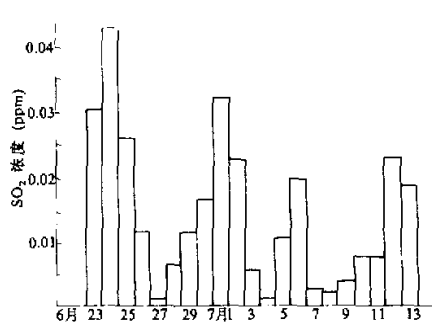


图 6 上海地面(龙华机场) SO_2 日均浓度逐日变化图

表 2 列出了观测期间过境的天气系统及每天的天气状况, 图 6 又给出了此期间每天的 SO_2 日均浓度值, 比较一下图 6 和表 2 就可看出 SO_2 日均浓度随时间的变化及受天气系统影响的情况, 不难看出, 观测期间共经历了四次冷锋、准静止锋天气过程, 而每一次天气过程正好对应图 6 曲线上的一个高峰, 每次天气过程都给地带来阴或雨天气, 并且每次冷锋、准静止锋天气过程都伴随一个 SO_2 日均浓度逐日变化曲线上的峰值。

表 2 1986年6月23日—7月13日上海天气状况及过境的天气系统

日期	6月 23日	24日	25日	26日	27日	28日	29日	30日	7月 1日	2日	3日	4日	5日	6日	7日	8日	9日	10日	11日	12日	13日
天气 状况	雨 8.5 mm	雨 13.5 mm	多 云	晴	多 云	多 云	雨 11.6 mm	阴 雾	晴 有 雾	多 云	多 云	雨 11.6 mm	阴 25.8 mm	雨 10.2 mm	雨 14.2 mm	多 云	晴 大 风 19.0 mm	雨 阴	阴	阴	
过境 的天 气系统	准 静 止 锋	准 静 止 锋					冷 锋	冷 锋				准 静 止 锋	准 静 止 锋	准 静 止 锋	准 静 止 锋			冷 锋	准 静 止 锋		

四、小结

通过对上海 SO_2 的观测研究, 我们获得了一批宝贵的 SO_2 时空分布资料, 积累了实验、观测的经验, 也为进一步开展理论工作及定量研究提供了依据, 并对一些重要的课题, 如 SO_2 在酸雨形成中的地位, 冷锋及准静止锋天气系统中酸雨酸性加重、酸化频率变大^[3] 的物理化学机制等, 给出了一定的实测论据, 现将上述资料分析的结果小结如下:

1. 观测期间, 地面 SO_2 平均浓度日变化呈一峰一谷趋势, 峰值在 08 时 34 ppb, 谷值在 02 时 10 ppb 左右, 全天平均浓度 18 ppb。

2. 晴天条件下, 地面 SO_2 日变化曲线呈二峰二谷分布, 峰值在 08 时 (37 ppb) 和 18 时 (21 ppb), 谷值在 04 时 (16 ppb) 和 14 时 (7 ppb)。

3. 上海 SO_2 空间分布有二种类型, 一是不稳定大气层结(晴天)条件下的向上递减型, 1500 m 高度以下市区比郊区大 10 ppb 左右, 1500 m 以上市区与郊区 SO_2 空间浓

度趋于一致，相差只有1—2 ppb；二是层状云存在时，SO₂浓度垂直分布出现极值，极大值出现高度多在1500 m上下。

4. 云中SO₂和云水pH值同步测量结果显示，SO₂浓度越高的地方，云水越酸。
5. 降水冲洗、风向风速及温度廓线均对SO₂的时空分布产生明显影响。
6. 冷锋、准静止锋天气过程每次伴随SO₂日均浓度分布曲线上的一个峰值。

参 考 文 献

- [1] Lusis, M.A., 1978, The effect of sample humidity on the response characteristic of SO₂ and NO_x analyzer systems: Aircraft plume dispersion studies, *J. Air Pollution Control Association*, **28**(1), 26—29.
- [2] D'ottavio, T., R. Garber, R.L. Tanner and L. Newman, 1981, Determination of ambient aerosol sulfur using a continuous flame photometric detection system, II: The measurement of low-level sulfur concentrations under varying atmospheric conditions, *Atmospheric Environment*, **15**, 197—203.
- [3] 邵德民、张维、沈爱华、何珍珍, 1987, 上海地区酸雨酸度与天气背景的关系, 大气科学, **11**(1), 79—87.

THE MEASUREMENTAL STUDY OF SO₂ IN SHANGHAI AREA

Zou Yousuo, Hong Zhongxiang, Zhou Leyi, Shen Jianqing

(Institute of Atmospheric Physics, Chinese Academy of Sciences)

Abstract

Measurements for spatial and temporal distributions of SO₂ were made both at the surface and in the space of Shanghai area by using airplane and Fluorescent SO₂ Analyser 8850 from June 21 to July 13, 1986. Upon the datum analysis the diurnal average variation of SO₂ of the concentrations distributions at the surface and in the space in the area is given in the paper. The daily average concentration of SO₂ in Longhua airport is 18 ppb or so. In sunny days the diurnal variation of SO₂ is a curve with two peakvalleys. The spatial distribution of SO₂ in Shanghai area is divided into two types. One is that SO₂ decreases with height in unstable atmospheric condition. The other is that SO₂ increases with height at first (below 1500 m) and decreases with height later (above 1500 m), a maximum concentration usually appears at 1500 m or so. In stratus somewhere the higher the SO₂ concentration is, the stronger the acidity of cloud-water appears. It also shows that each weather process of cold front and quasi-static front corresponds to one peak value of the curve of diurnal average concentration of SO₂.

Key words: Rainfall washout; SO₂; Shanghai.